

Las nuevas superficies de hielo son parte de los resultados del Primer Inventario de glaciares de la Cordillera de Darwin. El equipo de glaciólogos del CECs además midió con precisión el retroceso de los glaciares en la Cordillera Darwin, Chile Austral.

La publicación de [Francisca Bown](#) , [Andrés Rivera](#) y [Claudio Bravo](#) , investigadores del Laboratorio de Glaciología del CECs, junto a Pablo Zenteno y Fiona Cawkwell, entrega un catastro de glaciares de los centros montañosos principales al sur del Estrecho de Magallanes (54°S). Este incluye la Cordillera Darwin y el Monte Sarmiento (ambos en Isla Grande Tierra del Fuego), Isla Santa Inés e Isla Hoste.

Se inventarió un conjunto de 1.681 glaciares con una superficie total de hielo de 3.289.5 km². Estimaciones previas para esta región indicaban sólo 2.500 km², lo que implica el hallazgo de 789 kilómetros cuadrado adicionales de glaciares. Lo que podría dar la impresión de un falso crecimiento en el área glaciar se explica porque este estudio, publicado en el Libro “ [GLIMS: Global Land Ice Measurements from Space](#) ”, se basó en imágenes satelitales modernas, de mayor precisión que los datos utilizados con anterioridad. Así también se comprueba la tendencia al retroceso de los glaciares localizados en esta región. Uno de los ejemplos más espectaculares es el Glaciar Marinelli (Figura 1), con una historia interesante de 15 kilómetros de retroceso desde 1913, y los Glaciares Conway y Schiaparelli, los que fueron fotografiados por el joven Charles Darwin durante su viaje a bordo del HMS Adventure y Beagle entre 1826 y 1836.

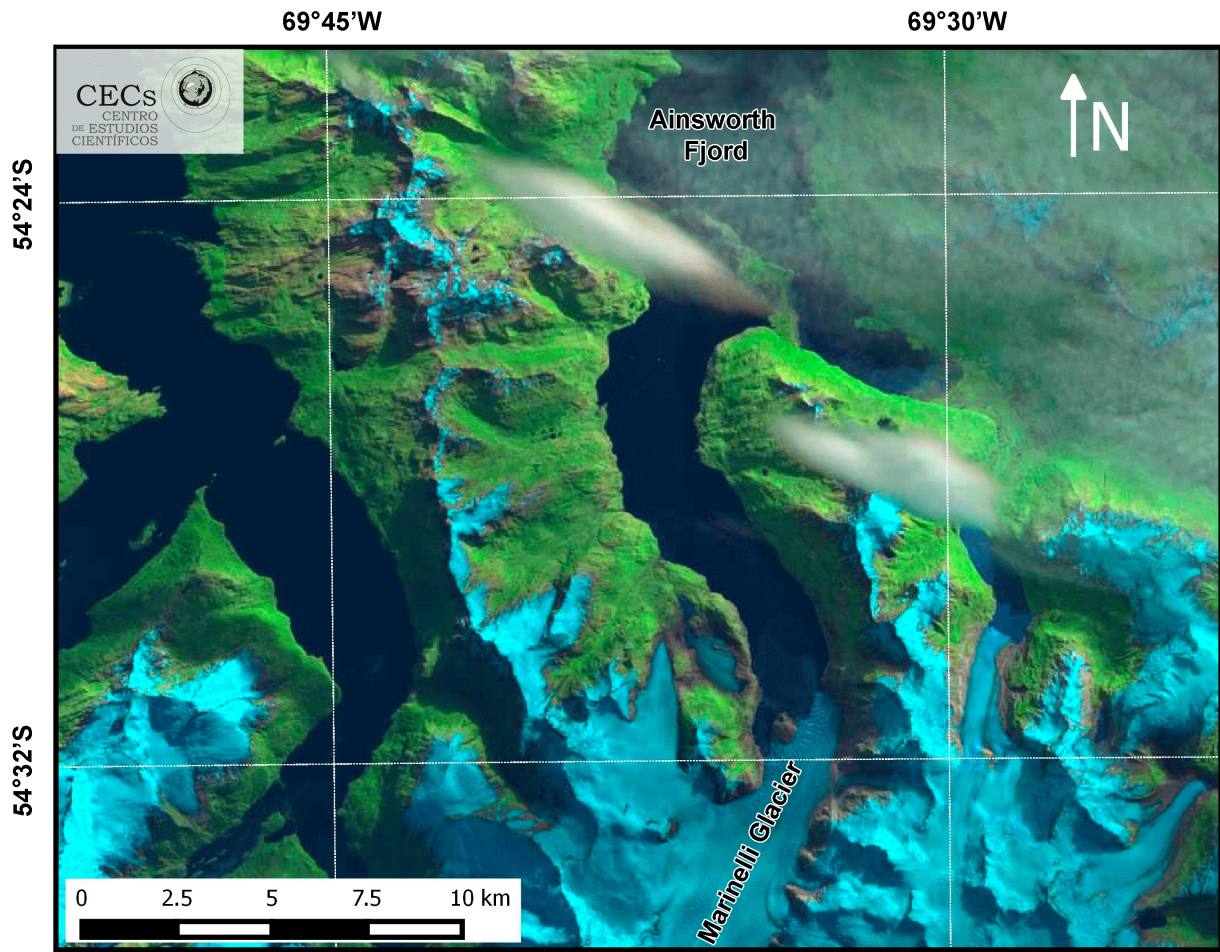


Figure 4. Aerial view of the Ainsworth Fjord, Antarctica. The map shows the Marinelli Glacier and the surrounding terrain. The map is overlaid with a coordinate grid. The scale bar indicates distances from 0 to 10 km. The north arrow points upwards. The CECs logo is in the top left corner. The text 'Ainsworth Fjord' is written in the upper right, and 'Marinelli Glacier' is written vertically along the glacier's path. The URL https://doi.org/10.1007/978-3-540-79818-7_23 is also present.